



اثر نانوذرات Nb_2O_5 به عنوان جوانه‌زا بر خصوصیات شیشه سرامیک‌های آلومینا سیلیکات لیتیم

پریسا گوهريان^{۱*} و علی نعمتی^۲

۱- دانشگاه آزاد اسلامی - واحد شهرضا، دانشکده فنی مهندسی

۲- دانشگاه صنعتی شریف، دانشکده علم مواد

تاریخ ثبت اولیه: ۱۳۸۸/۰۴/۱۲، تاریخ دریافت نسخه اصلاح شده: ۱۳۸۸/۰۶/۲۸، تاریخ پذیرش قطعی: ۱۳۸۸/۰۸/۰۲

چکیده

هدف از تحقیق حاضر، بررسی اثر اندازه ذرات جوانه‌زا بر مورفولوژی، نوع فازهای بلوری و ریزساختار شیشه- سرامیک‌های آلومینا سیلیکات لیتیم می‌باشد. جهت رسیدن به این هدف، سیستم $SiO_2-Al_2O_3-CaO-Li_2O$ برای تهیه شیشه- سرامیک در نظر گرفته شد و از Nb_2O_5 به عنوان عامل جوانه‌زا استفاده شد. بنابراین، شیشه- سرامیک با فاز بلوری اصلی اسپودومن و فازهای فرعی، وولاتونیت و متاسیلیکات لیتیم تشکیل شدند. سپس اندازه ذرات نانو تغییر داده شد. فازهای بلوری، رفتار تبلور و ریزساختار شیشه- سرامیک‌ها با استفاده از آنالیز فازی XRD، آنالیز حرارتی (DSC) و میکروسکوپ الکترونی روبشی (SEM) مورد بررسی قرار گرفت. تغییر اندازه ذرات جوانه‌زا به اندازه ذرات نانو، باعث کاهش دمای جوانه‌زنی، افزایش جزء حجمی فاز بلوری اصلی اسپودومن، کاهش جزء حجمی فازهای فرعی و بهبود خواص مکانیکی شد.

واژه‌های کلیدی: اسپودومن، ریز ساختار، فاز بلوری، عامل جوانه‌زا.

فاکتور بسیار مهم مطرح می‌شوند. ترکیب شیمیایی تعیین‌کننده شکل‌پذیری شیشه، نوع مکانیزم جوانه‌زنی، خصوصیات شیمیایی نظیر مقاومت در برابر اسید و خصوصیات فیزیکی نظیر سختی، دانسیته و ضربه انبساط حرارتی می‌باشد. ریزساختار نیز که به اندازه ترکیب شیمیایی از اهمیت برخوردار است، تعیین‌کننده خواص مکانیکی و نوری است [۱]. شیشه سرامیک‌های

۱- مقدمه

شیشه- سرامیک‌ها، بین سرامیک‌ها و شیشه‌های غیر آلی طبقه‌بندی شده‌اند؛ که خواص حرارتی، دی‌کتریکی، بیولوژیکی و شیمیایی خوب و معمولًا بالاتری نسبت به فلزات و پلیمرها دارند. در طراحی و ساخت شیشه- سرامیک‌ها ترکیب شیمیایی و ریزساختار به عنوان دو

* عهدہدار مکاتبات: پریسا گوهريان

نشانی: اصفهان، شهرضا، دانشگاه آزاد اسلامی واحد شهرضا، دانشکده فنی مهندسی، گروه مواد
تلفن: ۰۳۲۱-۳۲۹۲۷۰۱، دورنگار: ۰۳۲۱-۳۲۳۲۷۰۱، پست الکترونیکی: parisagoharian@yahoo.com

ماکروویو و فر که نیاز به مقاومت به شوک حرارتی بسیار زیاد و مقاومت شیمیایی بالا است کاربرد داردند [۴-۶]. هدف از تحقیق حاضر، بررسی اندازه ذرات جوانه‌زا بر نوع و مورفولوژی فازهای بلوری، ریز ساختار و خواص شیشه-سرامیک‌های آلومینا سیلیکات لیتیم می‌باشد.

۲- فعالیت‌های تجربی

در این تحقیق از پودرهای سیلیس (با خلوص ۹۹/۵ درصد)، کربنات کلسیم، آلومینا، کربنات لیتیم (دارای خلوص ۹۹ درصد-6100Merck)، پنتوکسید نیوبیم با اندازه ذرات در ابعاد نانو و غیرننانو به عنوان مواد اولیه استفاده شد.

گاز مورد استفاده در این مطالعه که نقش عامل فوم‌کننده فیزیکی را دارد، نیتروژن دارای خلوص ۹۹/۹۹٪ می‌باشد. نمودار فازی گاز نیتروژن در شکل ۲ نمایش داده شده است.

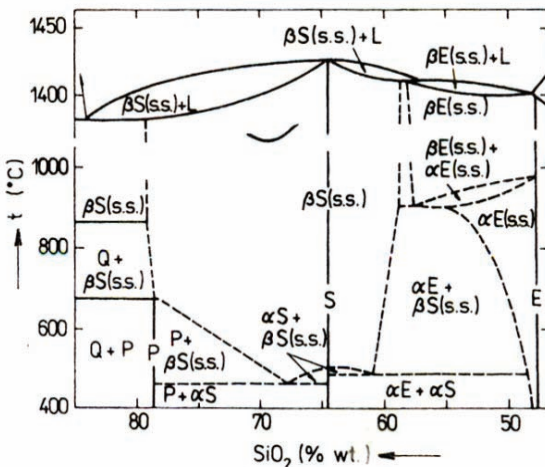
جدول ۱: آنالیز شیمیایی شیشه‌های پایه (بر حسب درصد وزنی).

Glass	SiO ₂	Al ₂ O ₃	Nb ₂ O ₅	CaO	Li ₂ O
A	۶۹/۳	۴/۸	۲/۲-Nano	۶/۴	۱۷/۳
B	۶۹/۳	۴/۸	۲/۲-Submicron	۶/۴	۱۷/۳

روش ذوب و ریخته‌گری برای تهیه این شیشه-سرامیک‌ها به کار رفت. بنابراین مواد اولیه پس از توزین با ترازوی دیجیتال با دقت ۰/۰۱ گرم، آسیاب و با فشار اندکی فشرده و درون بوته‌های آلومینایی قرار گرفتند و به مدت ۴ ساعت در کوره الکتریکی در دمای ۱۴۰۰ °C حرارت داده شدند تا مذابی همگن و بدون حباب ایجاد شود. مذاب حاصله در قالب فولاوی تخلیه و به کوره با دمای ۴۵۰ °C منتقل شد تا از ایجاد شوک حرارتی جلوگیری شود که بعد از گذشت ۱ ساعت، با خاموش کردن کوره دمای آن به دمای اتاق کاهش یافت.

به منظور بررسی رفتار حرارتی ترکیب شیشه، آنالیز حرارتی (DSC) با استفاده از دستگاه آنالیز حرارتی با مدل حرارتی (Setaramin Strumentation) انجام شد. در این آزمایش نمونه‌های شیشه‌ای به وزن تقریبی ۱۰ mg با سرعت ۱۰ °C/min گرمایش ۱۱۰۰ °C از دمای اتاق تا دمای ۱۱۰۰ مورد آزمایش قرار گرفتند. آنالیز فازی به روش پراش پرتو

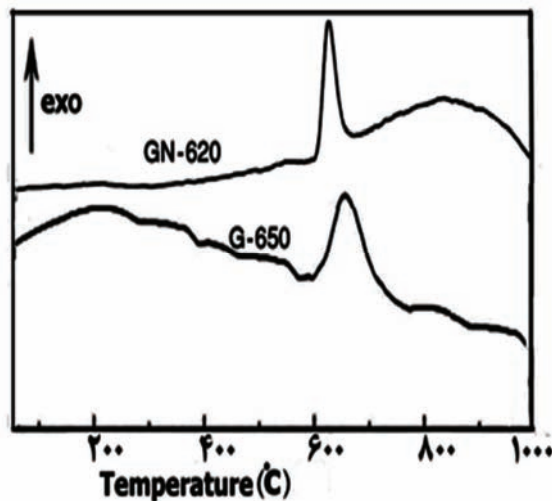
سیستم سه‌تایی SiO₂-Al₂O₃-Li₂O نخستین شیشه سرامیک‌های تجاری هستند؛ که توسط کمپانی کورنینگ به عنوان ظروف شوک‌پذیر پایروسرام به بازار عرضه گردیدند. فازهای مهم بلورین این سیستم، ایوکریپتیت، اسپودومن و پتلایت بر روی خطی در نمودار تعادل فازی سیستم سه‌تایی SiO₂-Al₂O₃-Li₂O (در داخل ناحیه تشکیل دهنده فاز شیشه) واقع هستند. در شکل ۱ نمودار تعادل فازی برای سیستم شبه دوتایی Al₂O₃.2SiO₂-SiO₂.Li₂O نشان داده شده است. از این نمودار روشن است که در دماهای بالا، انواع دما پایین α -اسپودومن به صورت برگشت‌ناپذیری به ایوکریپتیت و α -اسپودومن به صورت برگشت‌ناپذیری به انواع دما بالای β تبدیل می‌شوند. ساختار β -ایوکریپتیت منشعب از ساختار هگزاگونال β -کوارتز است که در آن نیمی از یون‌های Si⁺⁴ توسط یون‌های Al⁺³ جایگزین شده و برای حفظ خنثایی الکتریکی به همان تعداد یون Li⁺ در فضاهای خالی شبکه قرار می‌گیرند. به همان صورت β -اسپودومن مشتق شده از ساختار فرم تراگونال SiO₂-Al₂O₃-Li₂O ضریب انبساط حرارتی پایین یا منفی آنها است [۲].



شکل ۱: نمودار تعادل فازی برای سیستم شبه دوتایی Al₂O₃.2SiO₂-SiO₂.Li₂O
 β -S = اسپودومن
 β -E = ایوکریپتیت
 β -P = محلول جامد

ویژگی اصلی اسپودومن ضریب انبساط حرارتی بسیار پایین (10^{-7} K^{-1}) و مقاومت به شوک حرارتی بالا می‌باشد [۳]. شیشه-سرامیک‌های دارای فاز بلوری اصلی اسپودومن برای کاربردهایی نظیر روکش‌های داخلی

به رابطه مستقيمه W^* با انرژي سطحي، نانو شدن اندازه ذرات جوانهزا اثر بيشتری بر روی کاهش W^* داشته است و در نتيجه سرعت جوانهزنی در شيشه-سراميک دارای جوانهزا Nb_2O_5 با اندازه ذرات نانومتری بيشتر بوده است.



شکل ۲: منحنی DSC نمونه‌های GN-620 و G-650.

در اين فرمول (رابطه ۱) سرعت جوانهزنی، W^* سد ترموديناميكي انرژي، ΔG_D سد سينتتيكي انرژي و K ثابت بولتزمن است.

$$I = A \exp[-(W^* + \Delta G_D)K^{-1}T^{-1}] \quad (1)$$

- ۲-۳ آناليز فازی

در نمونه GN-620 اسپودومن $Li_2O \cdot Al_2O_3 \cdot 3SiO_2$ و متاسيليكات ليتيم (Li_2SiO_3) متبکر شدند. فاز بلوري G-650 اصلی در اين نمونه اسپودومن است. در نمونه G-650 علاوه بر فازهای اسپودومن و متاسيليكات ليتيم (Li_2SiO_3) ، تبلور فاز وولاتونيت $(CaSiO_3)$ نيز مشاهده شد. با نانو شدن اندازه ذرات جوانهزا، جزء حجمی فاز اسپودومن بيشتر و جزء حجمی فازهای فرعی کمتر و استحکام خمسي و ميكروسختی شيشه-سراميک حاصله بهتر شد. تبلور فاز متاسيليكات ليتيم در شيشه-سراميک های آلومينا سيليكات ليتيم باعث کاهش استحکام خمسي و مقاومت شيميايی اين شيشه-سراميک ها می شود بنابراین در اين نمونه ها بهترین

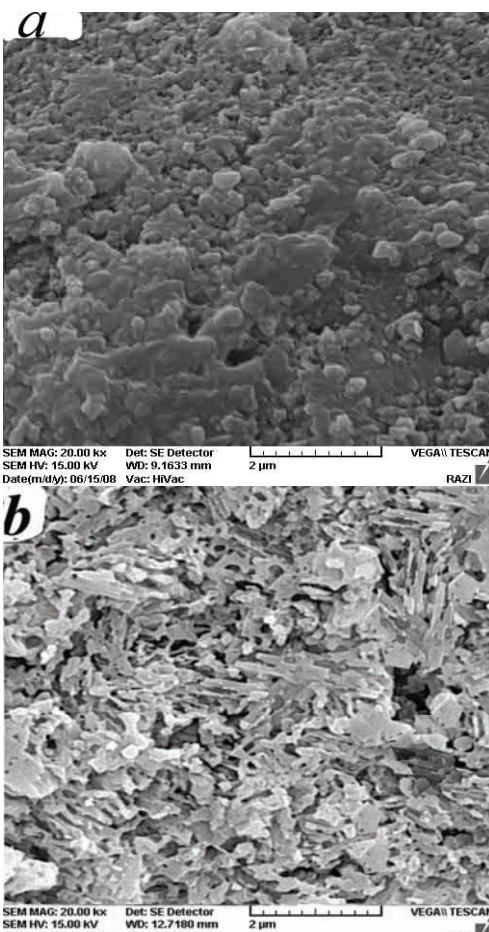
ايکس توسط دستگاه Bruker, D8ADVANC انجام شد. به منظور بررسی ريزساختار و تهيه تصاویر ميكروسكوبی، سطح شکست نمونهها پس از اج شدن به مدت ۵ ثانیه در محلول ۲/۵ درصد حجمی HF (اسيدهيدروفلوئوريك)، با طلا پوشش داده شد و توسط ميكروسكوب الکتروني با مدل VEGA/TESCAN سطح آنها مورد بررسی قرار گرفت. به منظور تعیین اندازه ذرات پودر Nb_2O_5 آناليز TEM توسط دستگاه ميكروسكوب الکتروني عبوری با مدل Philips EM208 انجام شد. به اين منظور با ريختن مقداری از پودر مورد نظر در آب مقطر (دو بار نقطير) سوسپانسيون ايجاد كرده و سوسپانسيون حاصل در دستگاه اولتراسونيك به مدت ۱۵ دقيقه قرار داده شد. سپس يك قطره از سوسپانسيون روی گرید (دارای پوشش کربن) ريخته شد و بعد از خشك شدن اين قطره، گرید در ميكروسكوب قرار داده شد. بررسی ميزان ريزسختی شيشه-سراميک ها با استفاده از ريز سختی سنج و يکرز ۵۰۰ MVK-H21 ساخت شركت Akashi ژاپن تحت بار ۵۰ و در زمان ۱۵ ثانیه انجام شد. برای دستيابي به نتائج دقيق تر، ريزسختی سنجی در ۳ نقطه متفاوت انجام و سپس ميانگين گيري شد. استحکام خمسي سه نقطه اي Instron Universal Testing Machine 119 بر طبق استاندارد DIN EN 843-1 (1995) به روش سه نقطه اي انجام شد. تعداد نمونه های مورد آزمایش حداقل ۵ عدد و ابعاد آنها $2/5 \times 2/5 \times 25$ mm بود.

۳- نتایج و بحث

۳-۱-۳ نتایج آناليز حرارتی

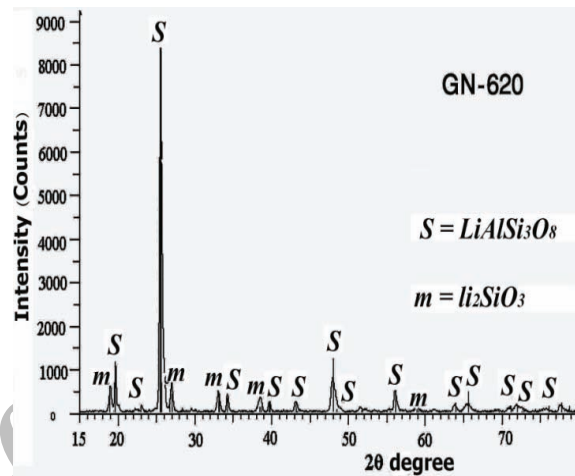
در منحنی DSC شيشه دارای جوانهزا Nb_2O_5 يك پيك در دماي $620^{\circ}C$ و در مورد نمونه با جوانهزا غير نانو، يك پيك در دماي $650^{\circ}C$ مشاهده شد و نمونه ها به صورت GN-620 و G-650 کدگذاري شدند. بر طبق نتایج آناليز حرارتی با استفاده از اندازه ذرات Nb_2O_5 در مقیاس نانو، سرعت جوانهزنی افزایش یافته و جوانهزنی در دماي کمتری اتفاق افتاده است. با توجه به فرمول سرعت جوانهزنی [۷] (رابطه ۱) به نظر می رسد که، کاهش انرژي سطحي توسط Nb_2O_5 با اندازه ذرات نانو نسبت به Nb_2O_5 با اندازه ذرات غير نانو بيشتر و با توجه

بر بلورهای صفحه‌ای شکل اسپودومن، بلورهای سوزنی شکل و ولاستونیت نیز قابل مشاهده است. سوزنی شکل بودن بلورها، نقش مهمی را در جلوگیری از رشد ترک ایفا می‌کند. در چنین ساختارهای درهم قفل شده‌ای ترک‌ها در طول مسیر رشد خود به بلورهای سوزنی شکل برخورد می‌کنند، این بلورها بر روی ترک‌ها پل می‌زنند و با پل زدن روی ترک‌ها مانع از ادامه رشد ترک‌ها و به دام افتادن آن‌ها می‌شوند و به عنوان سدی در برابر ادامه حرکت آنها هستند و از گسترش بیشتر ترک‌ها جلوگیری می‌کنند در نتیجه باعث افزایش استحکام و میکروسختی می‌شوند [۹-۱۱]. بلورهای صفحه‌ای شکل اسپودومن (LiAlSi₃O₈) دارای مقاومت شیمیایی بالایی هستند و به علت مقاومت شیمیایی بالای آنها، شیشه سرامیک‌های دارای این فاز در پوشش ماکروویو و فر که برای شستشو در معرض مواد شوینده شیمیایی هستند مورد استفاده قرار می‌گیرند.

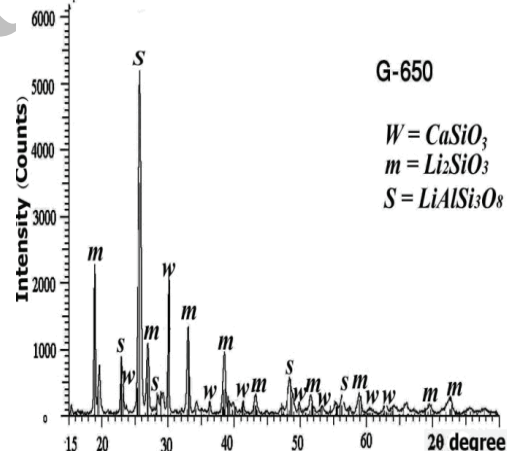


شکل ۵: تصویر SEM از سطح شکست (a) نمونه GN-620 با بزرگنمایی ۲۰۰۰۰ و (b) نمونه G-650 با بزرگنمایی ۲۰۰۰۰

خصوصیات وقتی حاصل می‌شود که فاز متاسیلیکات لیتیم به مقدار کمتری وجود داشته باشد [۸]، در نتیجه با نانو شدن اندازه ذرات جوانه‌زا و کم شدن جزء حجمی فاز متاسیلیکات لیتیم، خواص شیمیایی و مکانیکی شیشه - سرامیک بهبود می‌یابد.



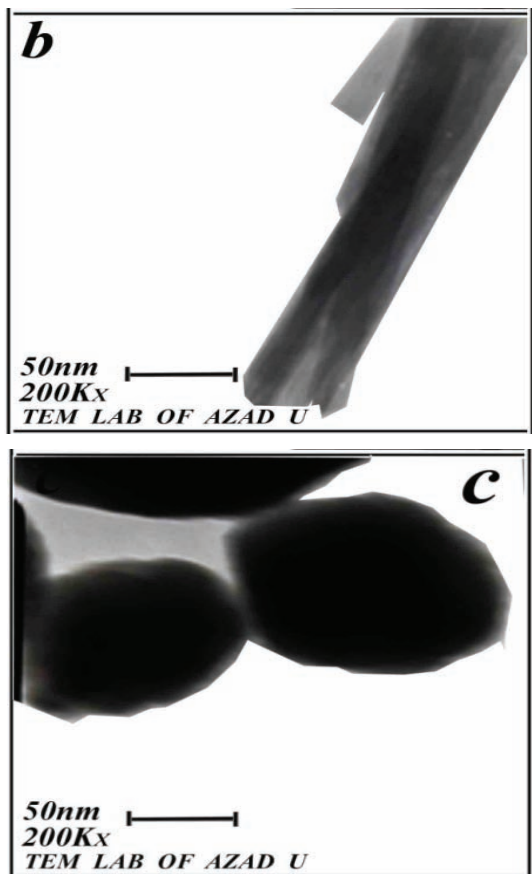
شکل ۳: الگوی پراش پرتو ایکس نمونه GN-620.



شکل ۴: الگوی پراش پرتو ایکس نمونه G-650.

-۳-۳- نتایج بررسی‌های میکروسکوپ الکترونی (SEM) روبشی

در شکل ۵a,b تصویر SEM نمونه GN-620 مشاهده می‌شود، با توجه به نتایج آنالیز فازی، در این نمونه فاز بلوری اصلی اسپودومن بود که در تصویر میکروسکوپی نیز بلورهای صفحه‌ای شکل اسپودومن مشخص هستند. در نمونه G-650 علاوه بر فاز اسپودومن، تبلور ولاستونیت نیز مشاهده شد که در تصویر SEM نمونه G-650 علاوه



شکل ۶. (a) تصویر TEM از پودر کروی شکل Nb_2O_5 با اندازه ذرات 70 nm , (b) تصویر TEM از پودر میله‌ای شکل Nb_2O_5 با اندازه ذرات 50 nm و (c) تصویر TEM از پودر Nb_2O_5 با اندازه ذرات 50 nm

۴- نتیجه‌گیری

با استفاده از اندازه ذرات Nb_2O_5 در مقیاس نانو، جزء حجمی فاز بلوری اصلی اسپودومن افزایش و جزء حجمی فازهای فرعی کاهش می‌یابد، که با کاهش جزء حجمی فاز متاسیلیکات لیتیم، استحکام و میکروسختی شیشه سرامیک افزایش می‌یابد.

مراجع

- [1] W. Holland, G. Beall, "Glass-Ceramic Technology", American ceramic society, Westerville, Ohio, USA, 2002.
- [2] واهاك مارقوسيان، "شيشه ساختار، خواص و كاربرد"، انتشارات دانشگاه علم و صنعت ايران، ۱۳۸۱، ص ۳۹۴-۳۸۲.
- [3] G. Muller, "Structure, composition, stability and thermal expansion of high eucryptite and keatite type alumino-silicates", Springer-Verlag, Berlin, 1995.
- [4] A. Hu, M. Li, D. Ma, *Ceramics International*, **34**, 2008, 1393.
- [5] G. Xingzhong, Y. Hui, H. Chen, S. Fangfang, *Thermochimica Acta*, **444**, 2006, 201.
- [6] P. Riello, P. Canton, N. Comelato, S. Polizzi, M. Verit, G. Fagherazzi, *Journal of Non-Crystalline Solids*, **288**, 2001, 127.

۴-۳- نتایج بررسی خواص مکانیکی

نمونه GN-620 با استحکام خمثی 153 MPa و میکروسختی HV ۴۸۰ دارای خصوصیات بهتری نسبت به نمونه G-650 (120 MPa) و میکروسختی HV (۳۴۸). در نمونه G-650 سوزنی شکل بودن بلورهای وولاستونیت، نقش مهمی را در جلوگیری از رشد ترک و افزایش استحکام ایفا می‌کند به طوری که ترکها در حین رشد به این بلورها برخورد کرده و از رشد آنها جلوگیری می‌شود [۹-۱۱]. اما جلوگیری از رشد ترک وقتی امکان پذیر است که ترکها در جهت عمود بر بلورها حرکت کنند و در صورتی که ترکها در جهت موازی با بلورهای سوزنی شکل حرکت کنند، از رشد آنها جلوگیری نمی‌شود در نتیجه، با نانو شدن اندازه ذرات جوانهزا و افزایش جزء حجمی فاز صفحه‌ای شکل اسپودومن، ترکها در حین رشد به مرز دانه‌های زیادی برخورد کرده و از رشد آنها جلوگیری می‌شود.

۵-۳- نتایج بررسی‌های میکروسکوپ الکترونی عبوری (TEM)

به منظور تعیین اندازه ذرات پودر Nb_2O_5 از این پودرهای تصویر میکروسکوپ الکترونی عبوری (TEM) گرفته شد با توجه به تصاویر ۶a-۶c اندازه ذرات پودر Nb_2O_5 در حد TEM نانومتر هستند. از لحاظ مورفولوژی، در تصاویر شکل‌های کروی با اندازه ذرات $70-90 \text{ nm}$ (شکل ۶a, ۶c) و میله‌ای (شکل ۶b) با قطر 50 nm مشاهده می‌شود.



- Heinberger, *Journal of Non-Crystalline Solids*, **263**, 2000, 388.
[10] M. Albakry, M. Guazzato, S. Vincent, *Journal of Dentistry*, **4**, 2003, 374.
[11] W. Holand, E. Apel, C. Hoen, V. Rheinberger, *Journal of Non-Crystalline Solids*, **352**, 2006, 4041.

- [7] P. James, Y. Iqbal, U. Jais, S. Jordery, W. Lee, *Journal of Non-Crystalline Solids*, **219**, 1997, 17.
[8] P.W. McMillan, S.V. Phillips, G. Partridge, *Journal Materials Science*, **1**, 1966, 269.
[9] S. Cramer, V. Clausbruch, M. Schweiger, W. Holand, V.

Archive of SID